

Cesar J. Deschamps  
2025

□ As equações da conservação da Q.M e da conservação de uma escalar  $\Theta$  (por exemplo, temperatura) podem ser escritas para quantidades médias:

$$\frac{DU_i}{Dt} = -\frac{1}{\rho} \frac{\partial P}{\partial x_i} + \nu \frac{\partial^2 U_i}{\partial x_j^2} - \frac{\partial}{\partial x_j} (\overline{u_i u_j}) + F_i$$

$$\frac{D\Theta}{Dt} = \alpha \frac{\partial^2 \Theta}{\partial x_j^2} - \frac{\partial}{\partial x_j} (\overline{u_j \theta}) + S_\Theta$$

- Para um escoamento turbulento estatisticamente estacionário de baixa velocidade, na ausência de termos fontes, a equação para  $\Theta$  fica da seguinte forma:

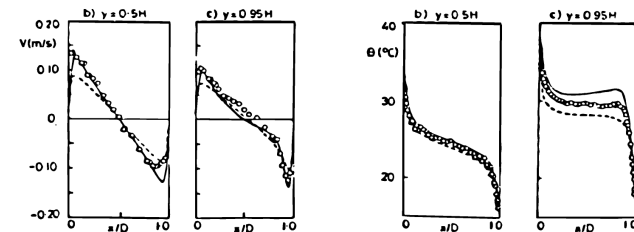
$$\frac{\partial U_j \Theta}{\partial x_j} = \frac{\partial}{\partial x_j} \left[ v \frac{\partial \Theta}{\partial x_j} - \overline{u_j \theta} \right]$$

- Em princípio, a equação para  $\Theta$  tem a mesma forma das equações da Q.M. mas alguns cuidados especiais são necessários na prescrição das condições de contorno.

[illegible]

- Analizando os resultados acima, pode-se perceber que as condições de contorno afetam em muito os resultados numéricos.

□ Para entender a origem desse problema, considere a situação de uma cavidade com as faces verticais mantidas em temperaturas diferentes.

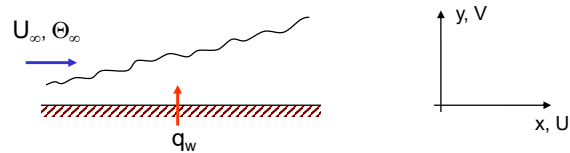


Medições de Ince (1984); Simulação de Ince e Launder (1989).

- Observa-se que os gradientes de velocidade média na parte central da cavidade são significativos;
- Por outro lado, gradientes elevados de temperatura ocorrem praticamente junto às paredes;
- De fato, a transferência de calor na região central da cavidade tem importância secundária;
- Assim, o detalhamento do processo de transferência de calor junto à superfície (2 a 5% da extensão do domínio de solução) é de extrema importância.

## Tratamento de Paredes Sólidas

- Pelos motivos colocados, deve-se de alguma forma incluir na modelação os efeitos viscosos e suas interações com a turbulência.
- Considere o escoamento sobre uma placa plana com transferência de calor



2025

Modelagem de Escoamentos Turbulentos - C.J. Deschamps - UFSC

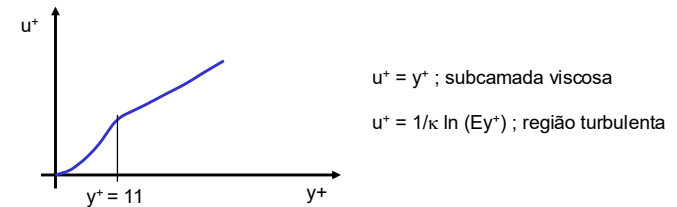
5

## Tratamento de Paredes Sólidas

- Para a transferência de Q.M. adotam-se as seguintes variáveis adimensionais para representar o escoamento junto à parede

$$y^+ = \frac{u^* y}{\nu} ; \quad u^+ = \frac{U}{u^*} , \text{ onde } u^* = \left( \frac{\tau_w}{\rho} \right)^{1/2}$$

- Com estas variáveis obtém-se a “Lei-da-Parede”



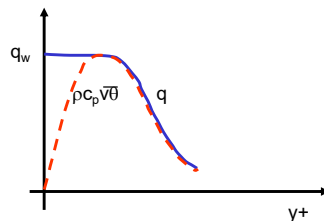
2025

Modelagem de Escoamentos Turbulentos - C.J. Deschamps - UFSC

6

## Tratamento de Paredes Sólidas

- Para a transferência de calor temos algo semelhante



- Números de Prandtl

$$\sigma = \frac{\mu c_p}{\Gamma} \quad \text{Laminar}$$

$$\sigma_t = \frac{\mu_t c_p}{\Gamma_t} \quad \text{Turbulento}$$

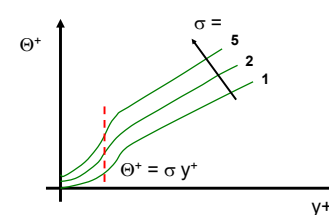
2025

Modelagem de Escoamentos Turbulentos - C.J. Deschamps - UFSC

7

## Tratamento de Paredes Sólidas

- Assumindo que  $\sigma_t$  é praticamente constante, pode-se perceber que a Lei-da-Parede varia com  $\sigma$ .



$$U^+ = f(y^+)$$

Analogia de Reynolds

$$\Theta^+ = \frac{1}{\tilde{\kappa}} \ln \tilde{E} y^+$$

onde

$$\Theta^+ = \frac{\rho c_p u^* (\theta - \theta_w)}{q_w}$$

- Observe que  $\tilde{E}$  e  $\tilde{\kappa}$  são análogos a  $E$  e  $\kappa$ , mas no entanto  $\tilde{E}$  depende do número de Prandtl do fluido,  $\sigma$ .

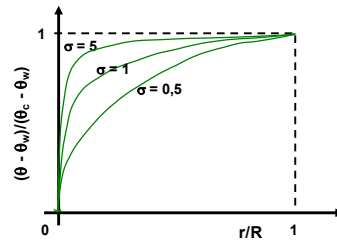
2025

Modelagem de Escoamentos Turbulentos - C.J. Deschamps - UFSC

8

## Tratamento de Paredes Sólidas

- Observa-se que a subcamada térmica viscosa varia com  $\sigma$ .
  - Óleos  $\sigma \rightarrow O(10^2)$ ; Ar  $\sigma \rightarrow O(1)$ ; Metais Líquidos  $\sigma \rightarrow O(10^{-2})$
- Considere o escoamento em uma canalização com  $Re = 30.000$  e o efeito da variação de  $\sigma$  sobre  $\Theta$ .



2025

Modelagem de Escoamentos Turbulentos - C.J. Deschamps - UFSC

9

## Modelação do Fluxo de Calor Turbulento

- A modelação do fluxo de calor associado à turbulência é realizada pela analogia entre os processos de transferência de calor e de Q.M.
- Para transferência de Q.M., a formulação generalizada de Kolmogorov fornece

$$-\rho \overline{u_i u_j} = \mu_t \left( \frac{\partial U_i}{\partial x_j} + \frac{\partial U_j}{\partial x_i} \right) - \frac{2}{3} \rho k \delta_{ij}$$

- Para a transferência de calor tem-se

$$-\rho \overline{u_j \theta} = \frac{\mu_t}{\sigma_t} \frac{\partial \Theta}{\partial x_j}$$

- Desta forma, a equação de transporte para  $\Theta$  fica

$$\frac{\partial U_j \Theta}{\partial x_j} = \frac{\partial}{\partial x_j} \left[ \left( \frac{\mu}{\sigma} + \frac{\mu_t}{\sigma_t} \right) \frac{\partial \Theta}{\partial x_j} \right]$$

- Assim, usando essa metodologia, necessita-se conhecer somente  $\sigma$  e  $\sigma_t$  para determinar  $\Theta$ .

2025

Modelagem de Escoamentos Turbulentos - C.J. Deschamps - UFSC

10

## Modelação do Fluxo de Calor Turbulento

- Basicamente, existem duas metodologias para o cálculo de escoamentos envolvendo transferência de calor junto a paredes sólidas:
  - Funções-parede**
    - Custo da simulação numérica é menor;
    - Erros consideráveis para situações afastadas das condições de equilíbrio local, ou se o número de Prandtl for muito diferente de 1;
    - Necessidade de relações semi-empíricas para as subcamadas térmicas.
  - Modelos de turbulência para baixos números de Reynolds**
    - Malhas refinadas junto às paredes e, portanto, maior custo computacional;
    - Fornecem uma descrição detalhada da região junto à parede.

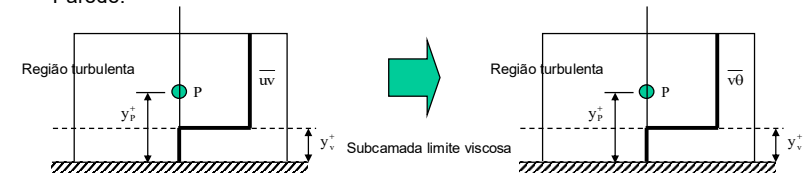
2025

Modelagem de Escoamentos Turbulentos - C.J. Deschamps - UFSC

11

## Funções-Parede

- A região junto a uma parede sólida é representada de acordo com a Lei-da-Parede.



- A distribuição de  $\Theta$  pode ser representada através de uma simples Lei-da-Parede

$$\Theta^+ = \frac{\rho c_p (\Theta_w - \Theta) u^+}{q_w} = \frac{1}{\kappa} \ln \tilde{E} y^+ \quad ; \quad y_p^+ > y_{v,0}^+$$

- Duas situações podem ser consideradas

$$y_p^+, q_w, \Theta_p \text{ e } \sigma \text{ conhecidos} \rightarrow \Theta_w$$

$$y_p^+, \Theta_w, \Theta_p \text{ e } \sigma \text{ conhecidos} \rightarrow q_w$$

2025

Modelagem de Escoamentos Turbulentos - C.J. Deschamps - UFSC

12

## Funções-Parede

- Usando

$$U^+ = \frac{1}{\kappa} \ln Ey^+$$

pode-se mostrar que

$$\Theta^+ = \frac{\kappa}{\kappa} \left[ U^+ + \frac{1}{\kappa} \ln(\tilde{E}/E) \right]$$

ou

$$\Theta^+ = \sigma_t \left[ U^+ + P(\sigma/\sigma_t) \right], \text{ onde } \frac{\kappa}{\kappa} = \sigma_t$$

2025

Modelagem de Escoamentos Turbulentos - C.J. Deschamps - UFSC

13

## Funções-Parede

- $P(\sigma, \sigma_t)$  é a "função de Jayatallike".

- Uma proposta de para a função P foi apresentada por Spalding (1967):

$$P(\sigma, \sigma_t) = 9,24 \left[ (\sigma/\sigma_t)^{3/4} - (\sigma/\sigma_t)^{1/4} \right]$$

- Outra proposta foi derivada por Jayatallike (1969) a partir de dados experimentais

$$P(\sigma, \sigma_t) = 9,24 \left[ (\sigma/\sigma_t)^{3/4} - 1 \right] \left[ 1 + 0,28 \exp(-0,0076/\sigma_t) \right]$$

- A analogia de Reynolds se aplica para  $\sigma_t = 1$  e  $P(\sigma, \sigma_t) = 0$ .
- A função  $P(\sigma, \sigma_t)$  fornece uma medida das diferentes resistências aos transportes de calor e quantidade de movimento.
- Quando  $\sigma$  é menor do que  $\sigma_t$ , P é negativo.

2025

Modelagem de Escoamentos Turbulentos - C.J. Deschamps - UFSC

14

## Funções-Parede

- Outra proposta para  $\Theta^+$  foi apresentada por Kader (1981):

$$\Theta^+ = y^+ e^{-\Gamma} \sigma + \left[ 2,12 \ln(1 + y^+) + \beta(\sigma) \right] e^{-1/\Gamma}$$

em que

$$\beta(\sigma) = (3,85\sigma^{1/3} - 1,3)^2 + 2,12 \ln(\sigma)$$

$$\Gamma = \frac{0,01(\sigma y^+)^2}{1 + 5\sigma y^+}$$

- A relação acima é válida na região turbulenta da parede ( $y^+ > 11,1$ ).

2025

Modelagem de Escoamentos Turbulentos - C.J. Deschamps - UFSC

15

## Funções-Parede

- A primeira relação para  $\Theta^+$  fornece  $Nu = 0$  quando  $C_f = 0$  (por exemplo, pontos de separação ou reatamento).

- Uma representação um pouco melhor para  $\Theta^+$  pode ser obtida pela substituição

$$\tau_w / \rho \rightarrow C_\mu^{1/2} k$$

na Lei da Parede.

- Assim,

$$\Theta^+ = \frac{\rho c_p c_\mu^{1/4} k_p^{1/2} (\Theta_w - \Theta_p)}{q_w}; \quad y_p^+ = \frac{\rho c_\mu^{1/4} k_p^{1/2}}{v}$$

- A energia cinética das flutuações é obtida da equação de k no modelo k-ε.

2025

Modelagem de Escoamentos Turbulentos - C.J. Deschamps - UFSC

16

## Modelos para Baixos Números de Reynolds

- Esta categoria de modelo pode ser aplicada ao longo de todo o domínio de cálculo, incluindo regiões junto a superfícies sólidas.

- Modelo do comprimento de Mistura (Van Driest)**

$$v_t = \text{Im}^2 \left\{ \left[ \frac{\partial U_i}{\partial x_j} + \frac{\partial U_j}{\partial x_i} \right] \left[ \frac{\partial U_i}{\partial x_j} \right] \right\}^{1/2}; \quad \text{Im} = C_\ell y [1 - \exp(-Ay^+)]; \quad \sigma_t \rightarrow \text{prescrito}$$

- Modelo a uma equação (Wolfshtein, 1969)**

$$v_t = c_\mu k^{1/2} \ell_\mu; \quad \varepsilon = \frac{k^{3/2}}{\ell_\varepsilon}$$

$$\ell_\mu = c_\ell y (1 - \exp(-AR_t)); \quad \ell_\varepsilon = c_\varepsilon y (1 - \exp(-A_\varepsilon R_t))$$

$$R_t = k^2 / \nu \varepsilon; \quad \sigma_t \rightarrow \text{prescrito}$$

- Modelo a duas equações (Launder e Sharma, 1974)**

- Descrevem efeitos na subcamada através de parâmetros tais como  $y^+$  ou  $R_t (= k^2 / \nu \varepsilon)$ .
- $\sigma_t$  é prescrito

2025

Modelagem de Escoamentos Turbulentos - C.J. Deschamps - UFSC

17

## Determinação de $\sigma_t$

- As difusões turbulentas de quantidade de movimento e energia térmica podem ser escritas através das seguintes formas:

$$-\overline{uv} = v_t \frac{\partial U}{\partial y} \quad -\overline{v\theta} = \alpha_t \frac{\partial \Theta}{\partial y}$$

- Desta forma, o número de Prandtl turbulento,  $\sigma_t$ , pode ser avaliado como

$$\sigma_t = \frac{v_t}{\alpha_t} = \frac{\overline{uv} \frac{\partial \Theta}{\partial x_j}}{\overline{v\theta} \frac{\partial U}{\partial y}}$$

- As quatro quantidades indicadas acima são de difícil medição e isto explica os poucos dados experimentais existentes para  $\sigma_t$  e a grande dispersão entre os mesmos.

2025

Modelagem de Escoamentos Turbulentos - C.J. Deschamps - UFSC

18

## Determinação de $\sigma_t$

- O número de Prandtl turbulento,  $\sigma_t$ , varia com  $y^+$ ,  $\sigma$  e Re mas infelizmente não existe uma relação geral conhecida.

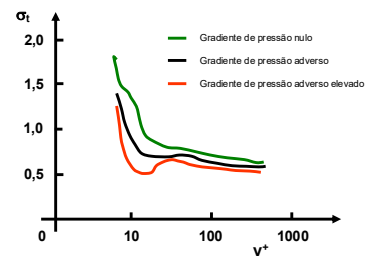
- Rotta (1964)** sugeriu a seguinte relação para o escoamento de ar sobre placa plana

$$\sigma_t = 0,9 - 0,4 (y/\delta)^2$$

- Kays e Moffat** por outro lado propuseram

$$\sigma_t = 1,43 - 0,17 (y^+)^{1/4}$$

- Algumas medições são disponíveis como, por exemplo, aquelas de Blackwell (1972).



2025

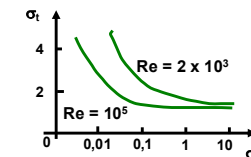
Modelagem de Escoamentos Turbulentos - C.J. Deschamps - UFSC

19

## Determinação de $\sigma_t$

- Jischa (1982) sugere que para  $\sigma < 1$

$$\sigma_t = 0,9 + 1,82 \frac{1}{\sigma \text{Re}^{0,888}}$$



- Análises aproximadas de Reynolds (1975) e Deissler (1963) também sugerem que  $\sigma_t$  varia muito quando  $\sigma \rightarrow 0$  e tende a 0,9 quando  $\sigma \rightarrow \infty$ .

- Na região logarítmica,  $\sigma_t$  parece ser uma função do número de Peclet turbulento,  $\text{Pe}_t = (\mu_t / \mu) \text{Pr}$ .

$$\sigma_t = 2,0 / \text{Pe}_t + 0,85$$

2025

Modelagem de Escoamentos Turbulentos - C.J. Deschamps - UFSC

20

## Determinação de $\sigma_t$

---

- ❑ Simulações numéricas diretas (SND) indicam que  $\sigma_t$  se aproxima de 1,0 na região de  $y^+$  entre 0 e 5.
- ❑ Para metais líquidos, a difusão molecular é dominante e o valor de  $\sigma_t$  não é importante.
- ❑ Dados experimentais para ar sugerem o gradiente de pressão afeta  $\sigma_t$ , com gradientes adversos de pressão ( $\partial p / \partial x > 0$ ) reduzindo  $\sigma_t$  e vice-versa para gradientes favoráveis ( $\partial p / \partial x < 0$ ).
- ❑ Por outro lado, a rugosidade da superfície praticamente não afeta  $\sigma_t$ . Para paredes completamente rugosas, a subcamada limite viscosa não está presente e os dados disponíveis se restringem à região logarítmica.
- ❑ Uma discussão detalhada sobre  $\sigma_t$  é fornecida em Kays (1994).

## Referências

---

- ❑ Ince, N.Z., Launder, B.E., "On the computation of buoyancy-driven turbulent flow in rectangular enclosures", *Int. J. Heat Fluid Flow*, vol. 10, pp. 110-117, 1989.
- ❑ Kader, B.A., "Temperature and concentration profiles in fully turbulent boundary layers", *Int. Journal of Heat and Mass Transfer*, vol. 24, pp. 1541-1544, 1981.
- ❑ Kays, W. M. "Turbulent Prandtl Number – Where Are We?", *Transactions of the ASME - Journal of Heat Transfer*, , vol. 116, pp. 284-295, 1994.
- ❑ Jayatilke, C.L.V., "The influence of Prandtl number and surface roughness on the resistance of the laminar sublayer to momentum and heat transfer". *Prog. Heat Mass Transfer*, vol. 1, pp. 193, 1969.
- ❑ Spalding, D.B., "Monograph on turbulent boundary layers". *Technical Report TWF/TN/33*, Imperial College, Mechanical Engineering Department, 1967.
- ❑ Wolfshtein, M. The velocity and temperature distribution in one-dimensional flow with turbulence augmentation and pressure gradient, *Int. J. Heat Mass Transfer*, 12:301-318, 1969.